



21-42-AD-DF-705

A la izquierda de la foto, micasquistos de la unidad de Mairena (Σph y Σkd). Hacia la mitad de la foto y sobre el pueblo se observa el contacto entre los micasquistos feldespáticos de la unidad de Mairena y las filitas alpujárrides del manto de Alcázar.



21-42-AD-DF-706

Los colores grises del primer término y derecha de la foto corresponden a las filitas del manto de Alcázar- $(P-T_{A1})$. El pico observable pertenece a las calizas y dolomias del manto de Alcázar ($T_{A 2-3}$). Estos materiales se superponen a los materiales del manto del Mulhacén.



21-42-AD-DF-707

En primer término micasquistos de la unidad de Mairena ($\Sigma_{phy} \Sigma_{hd}$), que siguen hacia el norte (arriba) del pueblo de Nechite y se superponen a los micasquistos del manto del Veleta (Σ_{vpdb}) en la primera línea de cumbres.



21-42-AD-DF-708

A la derecha de la foto, filitas (P-T_{A₁}) y calizas-dolomias (T_{A 2-3}) del manto de Alcázar, superpuestas a los materiales del manto del Mulhacén. Los terrenos más claros, que corresponden a mármoles de la unidad de Laroles (ΔM), marcan el techo de los nevado-filábrides.



21-42-AD-DF-709

Mármoles de la unidad de Laroles (ΔM) sobre micasquistos (ξzt) de la misma unidad.



21-42-AD-DF-710

El primer término y los terrenos con árboles de la parte izquierda de la foto pertenece a micasquistos epidóticos de la unidad de Laroles (ξt). Sobre ellos las filitas y serie carbonatada del manto de Alcázar (P-T_{A1} y T_A 2-3).



21-42-AD-DF-711

Micasquistos (Σ_{Kd}) de la base de la unidad de Mairena. Las manchas blancas corresponden a agregados de sericita, producto de transformación de los minerales de metamorfismo de contacto.



21-42-AD-DF-712

Falla normal que separa la depresión de Laujar de Andarax de las calizas y dolomias (T_{A2-3}) triásicas del manto de Lújar.



21-42-AD-DF-713

Superposición del tramo filítico ($P-T_{A1}$) del manto de Alcázar (colores grises del primer término) sobre el tramo carbonatado (T_{A2-3}) del manto de Lújar.

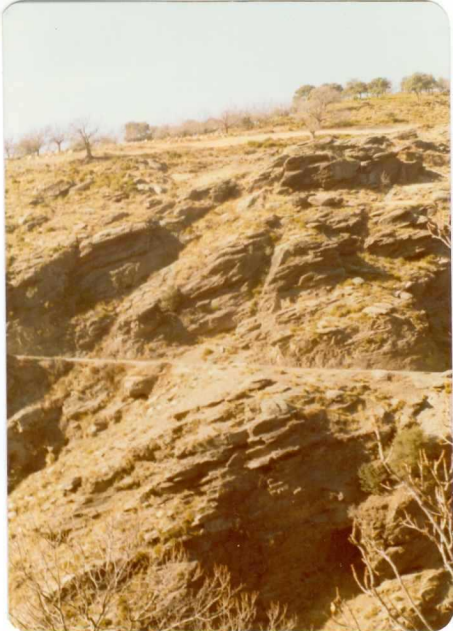


21-42-AD-DF-714

Contacto de los materiales de la unidad de Laroles (colores claros de la derecha) son las filitas (P-T_{A-1}) y calizas-dolomias (T_{A2-3}) del manto de Alcázar.

21-42-AD-DF-715

Cuarcitas feldespáti-
cas del manto del Ve-
leta (Yp).





21-42-AD-DF-716

En primer término mármoles de la Unidad de Laroles (AM). Encima de ellos las filitas (P-T_{A1}) del manto de Alcázar (colores grises) y sobre éstas el tramo carbonatado del mismo manto de Alcázar (T_{A2-3}).



21-42-AD-DF-717

Mogote de mármoles (ΔM) sobre micasquistos epidóticos (ξ_{zt}) de la unidad de Laroles del manto del Mulhacén.



21-42-AD-DF-718

Micasquistos grafitosos del manto del Veleta (ξVPdb).



21-42-AD-DF-719

Cuarcitas feldespáticas del manto del Veleta (Yp).



21-42-AD-DF-720

Micasquistos grafitosos del manto del Veleta con segre
gaciones de cuarzo hidrotermal (Σ VPdb).



21-42-AD-DF-721

Superposición de la unidad de Mairena del manto del Mulhacen sobre el manto del Veleta. El contacto se situa a media ladera y los escarpes pertenecen a los micasquistos - (ΣKd) de la base del manto del Mulhacén.



21-42-AD-DF-722

Gneises bandeados (5_m) de la unidad de Mairena.



21-42-AD-DF-723

En primer término depósitos cuaternarios de la depresión de Guadix. En el horizonte, a la derecha, micasquistos - grafitosos del manto del Veleta ($\xi_{Vp}db$). Hasta el pueblo de Dólar, siguen los micasquistos de la unidad de Mairena (ξ_{Ph}). Sobre el pueblo, mármoles conglomeráticos o - brechoides (Δ).

21028



21-42-AD-DF-724

Segregaciones de cuarzo hidrotermal plegadas, en micas
quistos del manto del Veleta (ξ_{VPdb}).



21-42-AD-DF-725

Pliegues en micasquistos grafitosos del manto del Vele-
ta (Σ VPdb). Obsérvese el tamaño por comparación con el
martillo situado un poco debajo del centro de la foto.